

# 人胰岛素原C肽的表达、纯化及其细胞活性研究

田丽平<sup>1</sup> 张育坚<sup>1</sup> 李素霞<sup>1,2</sup> 杨胜利<sup>1</sup> 龚毅<sup>1\*</sup>

<sup>1</sup>(中国科学院上海生命科学研究院生物工程研究中心, 上海 200233)

<sup>2</sup>(华东理工大学生物反应器工程国家重点实验室, 上海 200237)

**摘要** 近年来研究发现人胰岛素原C肽(简称C肽)有多种生物活性, 在治疗糖尿病的并发症中有潜在的应用价值。在前期研究中, 完成了多拷贝串联C肽基因的构建和融合表达, 在原核中获得了高表达。用发酵的方法大规模表达融合蛋白C肽(FCP), 由Ni-NTA柱亲和纯化获得的蛋白经胰蛋白酶和羧肽酶B的酶解及RP-HPLC分离获得了纯度超过95%的C肽单体。细胞活性研究显示它对U251、293细胞的生长具有一定的促进作用。

**关键词** C肽, Ni-NTA亲和纯化, 糖尿病

**中图分类号** Q71   **文献标识码** A   **文章编号** 1000-3061(2004)06-0928-04

C肽是胰岛素原α链和β链之间的连接肽, 为31个氨基酸序列的单链化合物, 分子量为3021D。在胰岛β细胞内, 胰岛素原在蛋白酶的作用下, 1分子的胰岛素原裂解成1分子胰岛素(INS)和1分子C肽, 然后二者以等摩尔的量分泌进入门静脉。

Per Jonasson等<sup>[1]</sup>报道了融合蛋白一步胰蛋白酶解得INS和C肽。设计三个胰蛋白酶切位点: R、KR和K。胰蛋白酶切的动力学表明, 单R位点最为有效, 一步酶切三个不同的酶切位点可同时得到高回收率的目的产物。1998年, Per Jonasson等<sup>[2]</sup>报道了C肽基因片段多聚体可提高其收率。分别将编码1、3、7个C肽基因拷贝的片段与融合血清白蛋白亲和连接。三个融合蛋白在 *E. coli* 中表达量相似, 大约50mg/L。亲和纯化融合蛋白, 用胰蛋白酶+羧肽酶B酶解处理, 可有效释放天然C肽, 用质谱、RP-HPLC和放免分析确定。三种融合蛋白的定量收率分别为4、10、23mg/L。在此基础上, 该研究小组利用热处理使表达的融合蛋白释放到培养基中, 这样方便了融合蛋白C肽的后期纯化<sup>[3]</sup>。我们在以前的工作中, 构建了多拷贝的C肽基因, 使其在大肠杆菌中的表达水平明显提高, 产量达70mg/L<sup>[4]</sup>。

近年很多研究肯定C肽具有多种生物学作用, 用C肽对胰岛素依赖性病人进行替代治疗已有临床报道<sup>[5]</sup>。在治疗和预防糖尿病并发症方面, C肽具有很重要的作用<sup>[6]</sup>, 在1型糖尿病的病人治疗中,

C肽可以改善血管微循环、神经、心血管病变、肾脏病变、视网膜病变。因此对C肽的深入研究, 具有重要的理论意义和临床价值。

本文通过15L发酵罐高密度连续培养工程菌, 大规模的表达融合蛋白C肽, 在获得C肽单体的基础上, 对其细胞生物活性进行了研究。

## 1 材料与方法

### 1.1 材料

**1.1.1 菌株与质粒:** HMS174(DE3), pET32a质粒为本实验室保存; pET32a-cp3为本实验室构建。

**1.1.2 主要试剂及仪器:** Ni-NTA Resin购自博彩公司。胰蛋白酶购自Promega, C肽标准品和羧肽酶B购自Sigma。Yeast Extract与Tryptone购自OXOID公司, 其它均为分析纯试剂。

**仪器:** 发酵罐为自动控制的NBS3000(NBS, New Brunswick, 美国); Hewlett Packard 1100 HPLC(Grenoble, France); Kromasil C8 column

**1.1.3 细胞及培养试剂:** DMEM, 1640培养基购自Gibco, 人肾293细胞株和成神经瘤细胞株U251均为本实验室保存。

### 1.2 方法

**1.2.1 工程菌的构建:** 质粒提取及转化大肠杆菌参考《分子克隆》第二版。

**1.2.2 融合蛋白的发酵:** 将带有三个拷贝C肽的质

收稿日期: 2004-03-18, 修回日期: 2004-07-01。

\* 通讯作者。 Tel: 86-21-54971069; E-mail: yigong@shcb.ac.cn

粒 pET32a-cp3 转入 HMS174(DE3), 接种于 600mL LB 中, 37℃ 摆菌过夜。发酵罐中加入 8L 基料 (Yeast Extract 50g, Tryptone 50g, NaCl 40g, MgSO<sub>4</sub> 4.8g, K<sub>2</sub>HPO<sub>4</sub> 70g, KH<sub>2</sub>PO<sub>4</sub> 26g), 火菌后调 pH7.0, 加入氨苄 (100μg/mL), 接种 600mL, 37℃ 培养, 2 mol/L NaOH/50% 甘油 (并作为碳源) 调节发酵过程中 pH7.0, 调节搅拌器转速保持溶氧, 加入消泡剂消除发酵液泡沫。当溶氧浓度停止变化时开始补料 (Yeast Extract 20% 1500mL, Tryptone 20% 1500mL), OD<sub>600</sub> = 11.5 时 1mmol/L IPTG 诱导, 诱导后每隔 1h 取样, 诱导 4h 后放罐。离心, 收集菌体, 称重。SDS-PAGE 检测表达情况。

**1.2.3 Western-blot 印迹:**蛋白经 SDS-PAGE 电泳后, 转移到 PVDF 膜上, 用含 5% 脱脂牛奶的 TBST 缓冲液 (20mmol/L Tris, 150mmol/L NaCl, 0.3% Tween-20, pH7.6) 封闭过夜, 在一抗(兔抗人 C-肽抗血清 1:100 的比例稀释在 5% 脱脂牛奶的 TBST) 中孵育 1h 后, TBST 洗 5 × 10min, 二抗(碱性磷酸酶偶联的羊抗兔 Ig-G 按 1:2000 稀释在 2% 脱脂牛奶的 TBST) 中孵育 30min, TBST 洗 3 × 10min 次, 最后 TBS 洗 1 次 5min(20mmol/L Tris, 150mmol/L NaCl, pH7.6), 染色, 显色。

**1.2.4 融合蛋白的纯化:**菌体超声, 离心, 取上清, 加入 Ni-NTA Sepharose, 同时加入少量蛋白酶抑制剂如 PMSF(0.1mmol/L), 4℃ 搪拌吸附 2h 后, 2 倍体积的 0 ~ 10mmol/L 咪唑梯度洗柱除去非特异性吸附的杂蛋白, 流速控制在 15mL/h 左右。然后用 5 倍体积的 20mmol/L 咪唑洗脱目的蛋白, 收集洗脱液。

**1.2.5 融合蛋白的酶解及 C 肽单体的分离纯化:** Ni-NTA 亲和层析纯化后的 FCP, 经 PBS 透析, 调节浓度为 1.5 mg/mL, 以 1:200 (W/W) 加入胰蛋白酶, 1:100 (W/W) 加入羧肽酶 B, 37℃ 酶解。140 min 后进行 RP-HPLC 分离。洗脱条件为: 10% ~ 40% (V/V) 乙腈(含 0.1% (V/V) TFA) 分级洗脱; 洗脱时间, 30 min; 柱温: 40 ℃; 流速: 1mL/min; 214nm 检测, 并与 C 肽标准品对照, 收集 C 肽峰, 冻干。

**1.2.6 MTT 法检测 C 肽的细胞活性:** U251 用含 10% 小牛血清的 1640 培养, 293 培养在含 10% 小牛血清的 DMEM 中, 培养条件为 5% CO<sub>2</sub>, 37℃。细胞按 10<sup>5</sup> 个/mL 铺在 96 孔板内, 100 μL 细胞悬液/孔, 培养 1d 后, 血清饥饿 16h, 然后换含有不同浓度 C 肽的细胞培养液 200 μL/孔。对照组不加 C 肽, 每一条件设 8 个重复, 每 2 天换液 1 次。第 5 天后, 加入

10 μL MTT/孔, 孵育 2h, 再加 100 μL 酸性 SDS 溶液, 室温避光放置 2h。用酶标仪测定 A<sub>570nm</sub> 值。实验重複 3 次。

**1.2.7 统计分析:**数据采用单因素方差分析, 显著性设为 P < 0.05。

## 2 结 果

### 2.1 工程菌的构建

质粒 pET32a-CP3 转化 HMS174(DE3)后, 得到工程菌。Fig. 1 是质粒 pET32a-CP3 的结构示意图, 目的基因位于 T7 噬菌体启动子的下游, IPTG 诱导宿主菌含有的溶源噬菌体 (DE3) 上的 T7 RNA 聚合酶表达, 从而启动 CP3 的转录和翻译, 表达分子量为 33kD 的融合蛋白 C 肽。此外, 在融合蛋白的 N 末端含有 6 × His tag, 可以应用 Ni-NTA 纯化目的蛋白。

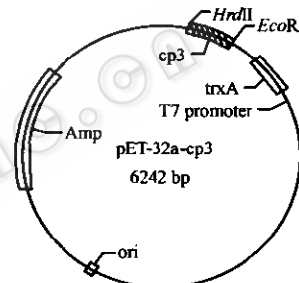


图 1 表达质粒 pET-32a-cp3 结构

Fig. 1 Structure of expression plasmid with three-copy C-peptide gene

### 2.2 表达产物 SDS-PAGE 分析和 Western-blot 鉴定

15L 发酵罐大规模表达, 共收获得到湿菌体 355g, 工程菌连续培养生长曲线如 Fig. 3 所示。超声破碎, 离心后, 分别取上清和沉淀进行 SDS-PAGE 和 Western-blot 分析 (Fig. 2)。结果显示该融合蛋白存在于上清中, 融合蛋白分子量为 33kD 左右, 融合蛋白表达量大约 500mg/L。灰度扫描显示该融合蛋白的表达量约占表达总蛋白的 35%。对融合蛋白的特异性表达作进一步的鉴定, 采用兔抗人 C-肽抗血清为一抗, 羊抗兔 Ig-G 为二抗对表达产物进行检测, 得到一条特异性强的显色条带, 表明该融合蛋白中含有 C 肽单体。

### 2.3 融合蛋白的亲和纯化

将上清与 Ni-NTA Sepharose 4℃ 搪拌结合 2h 后, 装柱。先用 0 ~ 10mmol/L 的梯度洗柱除去大量杂蛋白, 由图上可知流穿液中几乎没有目的蛋白, 然后用 20mmol/L 的咪唑洗脱目的蛋白 (Fig. 4)。结果显示用 0 ~ 10mmol/L 的梯度除去非特异性杂蛋白后, 再

用 20mmol/L 的咪唑洗脱收集目的蛋白。该步可得融合蛋白约 200mg/L。

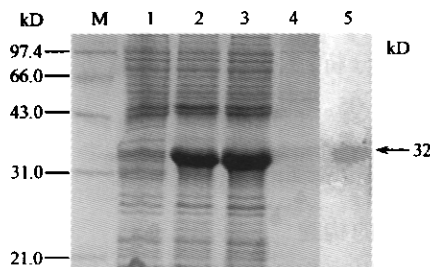


图 2 FCP 的 SDS-PAGE 和 Western-blot 分析

Fig. 2 SDS-PAGE and Western-blot analysis  
of FCP after fermentation

M: low range protein weight maker; 1: before induction; 2: after induction; 3: supernatant; 4: the pellet; 5: Western-blot analysis of expressed FCP

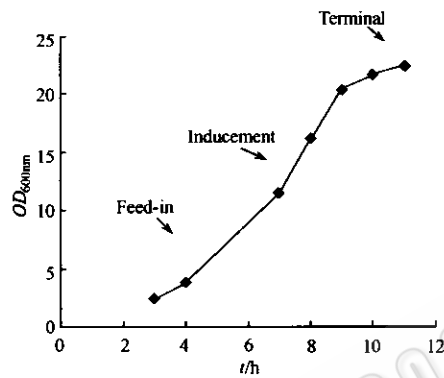


图 3 FCP 的发酵曲线

Fig. 3 Curve of FCP fermentation

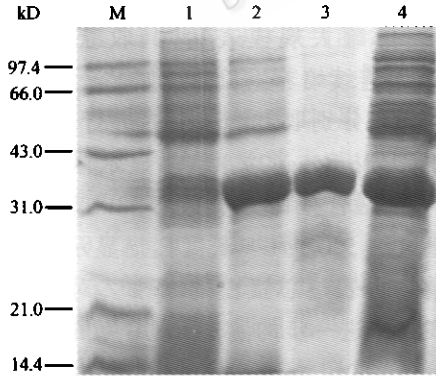


图 4 FCP 经 Ni-NTA 后的 SDS-PAGE 分析

Fig. 4 SDS-PAGE analysis of the collected fractions purified with Ni-NTA affinity column under native condition  
M: protein marker; 1: the flow-through; 2: elution with buffer NTA-20 directly; 3: eluted with NTA-20 after NTA-1 to 10 gradient elution; 4: the supernatant

#### 2.4 C 肽单体的 RP-HPLC 分离纯化

Ni-NTA 纯化后的 FCP 溶解在 PBS 缓冲液中, 调节终浓度为 1.5 mg/mL, 进行胰蛋白酶单酶切 60 min

后, 加入羧肽酶 B 进行胰蛋白酶 + 羧肽酶 B 双酶解。2h 后, 酶解完全。RP-HPLC 分离酶解反应混合物, 与 C 肽标准品相比, 重组得到的 C 肽具有相同的保留时间, 收集相应 C 肽峰, 冻干。最后可得到的 C 肽收率约为 20mg/L。

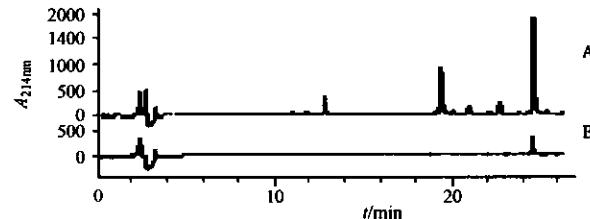


图 5 C 肽的单体的 RP-HPLC 分析

Fig. 5 RP-HPLC analysis of the enzymatic cleavage mixtures from fusion proteins with trypsin + carboxypeptidase B (A); B is a standard C-peptide from Sigma

#### 2.5 C 肽对细胞生长的影响

细胞血清饥饿 16h 后, 用不同浓度的 C 肽 (0.3, 1 和 3 nmol/L) 进行刺激与对照 (不加 C 肽) 相比, 生理浓度范围内的 C 肽能够最大程度刺激 U251 细胞和 293 细胞的生长 (Fig. 6), 且具有时间和剂量依赖性。4d 后细胞的生长达到了最大程度, 3 nmol/L 的 C 肽显示了最强的生长促进效果。

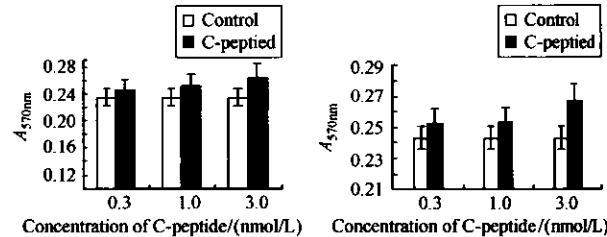


图 6 C 肽对 U251(A) 和 (293) 细胞生长的影响

Fig. 6 U251 (A) and 293 (B) cell growth effects of 4 days exposure of various concentrations of C-peptide  
(0, 0.3, 1, 3 nmol/L)

Data are expressed as mean  $\pm$  SD of three independent experiments.  $P < 0.05$  versus control (0 nmol/L C-peptide)

### 3 讨论

15L 发酵罐高密度连续补料培养融合蛋白多聚体工程菌的结果表明。菌体密度比其它工程菌较低, 这可能与菌体本身生长较慢, 且补料时间稍早, 补料过程掌握不好有关。但总的来说, 15L 发酵罐高密度连续补料培养融合蛋白多聚体工程菌还是成功的, 为 C 肽的大规模生产奠定了基础。

由于 6 × His 中咪唑基与  $\text{Ni}^{2+}$  融合而使蛋白纯化具有快速特异的优点, 我们选择了 N 端具有 6 ×

His tag 的融合蛋白表达载体 pET32a, 研究发现, 4℃ 搅拌 1~2 h 可充分提高亲合柱对融合蛋白的吸附。洗脱时, 先用低浓度的咪唑梯度除去非特异性吸附的杂质蛋白, 然后再用 20mmol/L 浓度的咪唑洗脱目的蛋白, 可提高目的蛋白的纯度, 为后来进行高效的蛋白酶解反应及 C 肽单体的分离奠定了良好的基础。

3nmol/L 的 C 肽显著地促进了成神经瘤细胞 U251 和人肾细胞株 293 的生长。这可能与 C 肽能够改善糖尿病病人肾脏和神经病变有一定关系。另外 C 肽促进神经来源的细胞株的生长, 与 Li Zhen-Guo 等人<sup>[7]</sup>在相关方面的研究一致。

Rigler 等<sup>[8]</sup>在研究 C 肽与细胞间的相互作用时, 发现在低摩尔浓度下(生理浓度)它们的结合率达到饱和。我们用不同浓度的 C 肽刺激细胞, 结果显示仅在浓度为 3nmol/L 时对细胞生长促进效果最为显著( $P < 0.05$ )。此外我们还进一步提高 C 肽的浓度达 10nmol/L、30nmol/L, 与对照相比, 并没有发现明显的刺激效果。所以超过生理浓度的 C 肽并不能促进细胞的生长。这与 Rigler 等<sup>[8]</sup>的研究相一致。

总之, 对于 C 肽的研究还处于起步阶段, 其机制还未阐明。我们已得到了重组人胰岛素原 C 肽, 并检测了其细胞生物活性, 为进一步研究 C 肽的用途奠定了基础。

**致谢** 本研究得到魏万贵老师、张惠堂等同志的热心帮助, 在此表示衷心的感谢。

## REFERENCES(参考文献)

- [1] Nilsson J, Jonasson P, Samuelsson E et al. Integrated production of human insulin and its C-peptide. *Journal of Biotechnology*, 1996, 48(3): 241~250
- [2] Jonasson P, Nygren PA, Johansson BL et al. Gene fragment polymerization gives increased yields of recombinant human proinsulin C-peptide. *Gene*, 1998, 210(2): 203~210
- [3] Jonasson P, Nygren PA, Jornvall H et al. Integrated bioprocess for production of human proinsulin C-peptide via heat release of an intracellular heptameric fusion protein. *Journal of Biotechnology*, 2000, 76(2~3): 215~226
- [4] Li SX, Tian LP, Liu HF et al. Expression of C-peptide multiple gene copies in *Escherichia coli* and stabilities of C-peptide in aqueous solution. *Acta Biochimica et Biophysica Sinica*, 2003, 35(11): 986~992
- [5] Johansson BL, Kernell A, Sjoberg S et al. Influence of combined C-peptide and insulin administration on renal-function and metabolic control in diabetes type-1. *Journal of Clinical Endocrinology and Metabolism*, 1993, 77(4): 976~981
- [6] Ido Y, Vindigni A, Chang K et al. Prevention of vascular and neural dysfunction in diabetic rats by C-peptide. *Science*, 1997, 277(5325): 563~566
- [7] Li ZG, Zhang WX, Sima AAF. C-peptide enhances insulin-mediated cell growth and protection against high glucose-induced apoptosis in SH-Sy(5) y cells. *Diabetes-Metabolism Research and Reviews*, 2003, 19(5): 375~385
- [8] Rigler R, Pramanik A, Jonasson P et al. Specific binding of proinsulin C-peptide to human cell membranes. *Proceedings of the National Academy of Sciences of the United States of America*, 1999, 96(23): 13318~13323

## Expression and Purification of Proinsulin C-peptide and its Cell Bioactivity

TIAN Li-Ping<sup>1</sup> ZHANG Yu-Jian<sup>1</sup> LI Su-Xia<sup>1,2</sup> YANG Sheng-Li<sup>1</sup> GONG Yi<sup>1\*</sup>

<sup>1</sup>(Shanghai Research Centre of Biotechnology, Chinese Academy of Sciences, Shanghai 200233, China)

<sup>2</sup>(State Key Laboratory of Bioreactor Engineering, East China University of Science and Technology, Shanghai 200233, China)

**Abstract** Increasing evidence suggests that human C-peptide is a biologically active hormone. Recent studies have demonstrated that replacement of C-peptide to normal physiological concentrations in insulin-dependent diabetic (IDDM) patients results in decreased glomerular hyperfiltration, augmented glucose utilization and improved autonomic nervous function. Several small-scale clinical trials confirm these beneficial effects on nerve function and blood flow in other tissues. Therefore, research on C-peptide should be encouraged and accelerated. In our previous studies, a gene fragment was obtained encoding three copies of C-peptide and expressed in *E. coli* at high level in the cytoplasm. In the present study, we focus on the large-scale expression, purification and cell growth research of recombinant C-peptide. Even without optimizing conditions, the wet weight reached 35.5g/L and the fusion protein (FCP) was expressed at high lever. The expressed FCP was efficiently separated from the supernatant through Ni-NTA affinity chromatography, to obtain about 200 mg/L of the FCP with 70% purity. Single C-peptide was produced by enzymatic digestion of trypsin and carboxypeptidase B through site-specific cleavage of the resulting gene products and then released. RP-HPLC analysis suggested that the recombinant C-peptide obtained is the very same with the standard C-peptide. In the later studies, we choose two kinds of cell line, U251 and 293, to testify the cell growth effects of our recombinant human C-peptide and the results suggested that C-peptide with 3 nmol/L can exert maximal effects on cell proliferation. In conclusion, the combined findings indicate that the recombinant C-peptide is a biologically active hormone. Further studies on its cell signaling should be brought to the scientific research arena.

**Key words** C-peptide, Ni-NTA, RP-HPLC

Received: 03-18-2004

\* Corresponding author. Tel: 86-21-54971069; E-mail: yigong@scb.ac.cn